

## (231) 計装シャルビ試験機による低炭素高張力鋼の衝撃特性

鈴鹿工業高等専門学校 ○梶野利彦・下川義雄  
名古屋大学 小林俊郎・西成基

1. 緒言：鉄鋼材料の韌性を評価する方法としては従来シャルビ衝撃試験機による吸収エネルギーの測定が一般的なものとなっているが、近年衝撃試験機を計装化することにより衝撃破断時の荷重-時間(変位)曲線が比較的容易に求められるようになり、その解析により韌性を新しい角度から評価する試みがなされるようになって来た。本実験では半導体を検出素子としてシャルビ衝撃試験機の計装化をあくない数種の低炭素高張力鋼について衝撃試験し幾つかの知見を得た。

2. 実験方法：30kg-m シャルビ衝撃試験機を用い計装化した。半導体歪ゲージをハンマ刃縁中心線上にアクティオーダー法によるブリッジ構成形に貼付け、ポテンショメータ回路を用いて直流水圧を印加し衝撃時の出力変化をシンクロスコープ管面上の波形として写真撮影し、荷重-時間曲線を得た。衝撃試験片は熱処理のしやすいようにJIS G 4号(5mm厚)のものとした。供試材は60, 70, 80キロ級低炭素高張力鋼を用いた。熱処理後、空冷・焼入・焼戻し等温変態などを施し種々の組織のものについて衝撃試験した。荷重-時間曲線についてはその形状と延性-脆性破壊様式との関連性を比較検討した。また曲線下の面積を吸収エネルギーと関係づけ試験温度による変化を吸収エネルギー曲線として示し、従来のシャルビ吸収エネルギーとの対応性および破壊過程との結付きを検討した。

3. 結果：70キロ級低炭素高張力鋼(C 0.12, Si 0.31, Mn 0.81, P 0.015, S 0.010, Cu 0.23, Cr 0.42, Ni 1.01, Mo 0.46, V 0.05 wt%)に関する結果の一例を示す。図1に900°C × 20minの熱処理したのち空冷したものの荷重-時間曲線の代表的なものについて示した。(a)曲線は降伏荷重を経て最大荷重に到達したのち緩やかに破断に到っており延性破壊の場合の典型的な例である。(c)曲線は降伏荷重に到達しない短時間のうちに最大荷重を経て急速に破断しており脆性破壊様式を示している。(b)は両者の中間的な場合である。荷重-時間曲線に関して曲線下の面積から吸収エネルギーが求められた。最大荷重までのものをE<sub>B</sub>、それ以後のものをE<sub>A</sub>とし試験温度に対してプロットしたものを見ると、E<sub>B</sub>とE<sub>A</sub>との和が全吸収エネルギー(E<sub>T</sub>)である。E<sub>T</sub>曲線は破線で示した従来のシャルビ吸収エネルギー曲線と相対量的にほぼ一一致が認められた。E<sub>T</sub>曲線から求められる延性-脆性遷移温度は調質材で約-60°C、空冷材ではほぼ0°Cとなり従来の方法による値とのよく一致が認められた。E<sub>T</sub>曲線はまたE<sub>A</sub>曲線との類似性が認められ、E<sub>A</sub>曲線が亀裂伝播過程の吸収エネルギーを示していることから考えると、E<sub>T</sub>曲線は伝播過程が温度によって変化する様子を示しているものと見なすことができる。E<sub>B</sub>は亀裂発生段階と関連性があるが降伏点以後での加工硬化を考慮しなければならず今後の検討を要する。調質材の-40°Cまでの高い韌性は微細炭化物の分散した均質組織によるものであり、空冷材ではマーティアイトとパラライトとの混合組織となつたため韌性が低下する結果となつた。

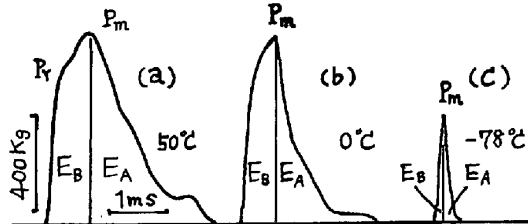


図1. 70キロ鋼(空冷材)の荷重-時間曲線  
P<sub>m</sub>: 最大荷重, P<sub>b</sub>: 降伏荷重  
E<sub>B</sub>: P<sub>m</sub>前の吸収エネルギー, E<sub>A</sub>: P<sub>m</sub>後の吸収エネルギー

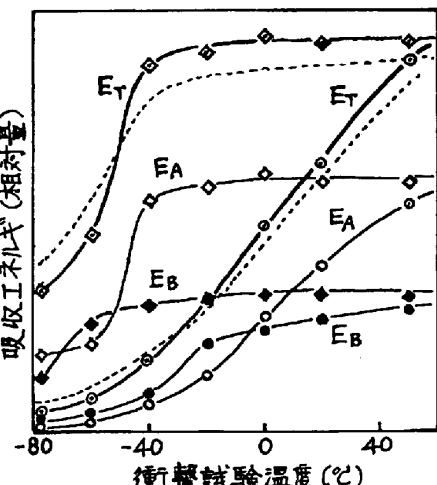


図2. 70キロ鋼の吸収エネルギー曲線  
-◆-: 調質材, -○-: 空冷材  
-···-: 従来の吸収エネルギー  
E<sub>T</sub>: 全吸収エネルギー, E<sub>A</sub>: 亀裂伝播過程の吸収エネルギー